

## Chapitre 3

### Capteurs de température

#### 3.1 Introduction

La thermométrie est aujourd'hui indispensable à l'ensemble des secteurs d'activités. Pour les mesures de température les plus courantes, une échelle de température facilement applicable a été mise au point, sous la dénomination "*Echelle Internationale de Température*" (*I.T.S 90 - International Temperature Scale*). Cet échelle couvre une plage de température allant de: - 259,34 °C à + 1064,43 °C. Sa définition est attribuée à un nombre de phénomènes de température à points fixes tels que:

- le point triple de l'eau (température d'équilibre eau- glace-vapeur),
- le point d'ébullition,
- le point de glace de certains matériaux.

Il existe deux catégories principales de capteur de température couramment utilisés dans l'industrie:

- *La thermométrie par sonde à résistance,*
- *La thermométrie par Thermocouple.*

Ces deux types d'applications répondent aux besoins sur une échelle allant de - 250 °C à + 3000 °C pour les thermocouples, et de - 200 °C à + 800 °C pour les sondes à résistance. Ce sont le choix et la précision de la mesure qui déterminent le type de capteur à utiliser.

#### 3.2 Les échelles de température

*Echelle de kelvin* : échelle thermodynamique ou absolue. L'unité est le kelvin (k) ; elle résulte de la fixation à 273,16 de la valeur de la température du point triple de l'eau (température d'équilibre eau- glace-vapeur).

*Echelle de Rankin* : l'unité est le degré Rankin (°R), qui est égal à 9/5 de Kelvin ; la température du point triple de l'eau a donc 491,69.

A partir des échelles absolues (K, °R) peuvent être définies par simple décalage des valeurs, de nouvelles échelles qui ne sont pas absolues mais qui conservent une unité de même que celle de l'échelle absolue d'origine.

*Echelle Celsius* : elle déduite de l'échelle absolue de kelvin et son unité, le degré Celsius (°C), est égale à un kelvin :

$$T(^{\circ}C) = T(K) - 273,15$$

*Echelle Fahrenheit* : elle s'obtient par décalage des valeurs de l'échelle absolue de Rankin, son unité, le degré Fahrenheit (°F).

$$T(^{\circ}F) = T(^{\circ}R) - 459,67 .$$

Conversion entre échelles de Celsius et de Fahrenheit:

$$T(^{\circ}C) = (T(^{\circ}F) - 32) \frac{5}{9}$$

$$T(^{\circ}F) = \frac{9}{5} T(^{\circ}C) + 32$$

### 3.3 Thermométrie par résistance

#### 3.3.1 Sensibilité thermique

D'une façon générale la valeur d'une résistance dépend de sa température  $T$ .

$$R(T) = R_0 F(T - T_0)$$

$R_0$  étant la résistance à  $T_0$  et la fonction  $F$  une caractéristique du matériau, égale à 1 pour

$$T = T_0$$

à  $T = T_0 \Rightarrow R(T_0) = R_0 = R_0 F(0)$ , ce qui implique  $F(0) = 1$ .

Exemple : pour les matériaux  $R(T) = R_0 (1 + AT + BT^2 + CT^3)$ , tel que :

$$T \text{ en } ^{\circ}C \text{ et } T_0 = 0^{\circ}C$$

Thermistances, mélanges d'oxydes semi-conducteurs:

$$R(T) = R_0 \exp \left[ B \left( \frac{1}{T} - \frac{1}{T_0} \right) \right]$$

$T$  la température absolue

La détermination de  $R$  permet de déduire la température  $T$ .

Pour des petites variations  $\Delta T$  de température autour d'une valeur  $T$ , la variation de température peut être linéarisée

$$R(T + \Delta T) = R(T)(1 + \alpha_R \cdot \Delta T) = R(T) + \alpha_R \cdot R(T) \cdot \Delta T$$

Où 
$$\alpha_R = \frac{1}{R(T)} \cdot \frac{dR}{dT}$$

$\alpha_R$  est le coefficient de température de la résistance  $R$  ou la sensibilité thermique à la température  $T$ ,  $\alpha_R = f(T)$ .

Exercice :

à  $T = 0^\circ C$

Pour le Platine, on a  $\alpha_R = 3,9 \times 10^{-3} / ^\circ C$

Pour thermistance, on a  $\alpha_R = 5,2 \times 10^{-2} / ^\circ C$

Ainsi, si on mesure la température au voisinage de  $0^\circ C$  à l'aide d'un pont de Wheatstone dont l'une des bornes est constituée par la résistance thermométrique et les trois autres branches sont formées par des résistances fixes  $R_0$ .

$$V_x = \frac{E}{4} \frac{\Delta R}{R_0} = \frac{E}{4} \cdot \frac{R_0 \alpha_R \Delta T}{R_0} = \frac{E}{4} \alpha_R \Delta T.$$

Si  $E = 2V$  et  $\Delta T = 1^\circ C$ , alors

$$V_x = \frac{2}{4} \times 3,9 \times 10^{-3} \times 1 \approx 1,9 mV \text{ Pour le Palatine}$$

$$V_x = \frac{2}{4} \times 5,2 \times 10^{-2} \times 1 = 26 mV \text{ Pour la thermistance.}$$

La qualité de l'appareillage de mesure fixe une valeur minimale mesurable  $(\Delta R / R_0)_{\min}$  ce qui donne pour  $\Delta T_{\min}$

$$\Delta T_{\min} = \frac{1}{\alpha_R} \cdot \left. \frac{\Delta R}{R_0} \right|_{\min}.$$

Si  $\left. \frac{\Delta R}{R_0} \right|_{\min} = 10^{-6}$  et pour des mesures autour de  $0^\circ C$

$$\Delta T_{\min} = 2,6 \times 10^{-4} ^\circ C \text{ Pour le Platine}$$

$$\Delta T_{\min} = 2 \times 10^{-5} ^\circ C \text{ Pour la thermistance}$$

### 3.3.2 Linéarisation

La méthode de linéarisation la plus simple consiste à associer au capteur, en série ou en parallèle une résistance fixe  $R_l$  dite de linéarisation dont la valeur est déterminée de façon

qu'autour d'une température  $T_i$  choisie, la tension de mesure  $V_x$  ait une variation quasi linéaire en fonction de  $T$ .

La courbe  $V_x(T)$  pour  $T = T_i$  et elle se traduit par la condition :

$$\left. \frac{d^2 V_x}{dT^2} \right|_{T=T_i} = 0.$$

### 3.3.2.1 Linéarisation shunte de la résistance

Un dipôle de résistance  $R(T)$ , alimenté par une source de courant  $i$ , la tension de mesure  $V_x = i \cdot R(T)$ , la linéarisation de  $V_x$  implique la linéarisation de  $R(T)$  autour de  $T = T_i$  soit:

$$\left. \frac{d^2 R}{dT^2} \right|_{T=T_i} = 0.$$

Cette condition peut être satisfaite en constituant le dipôle par la mise en parallèle sur le capteur  $R_c(T)$  d'une résistance fixe  $R_l$  :

$$R(T) = \frac{R_l \cdot R_c(T)}{R_l + R_c(T)}$$

$$\frac{dR}{dT} = \frac{R_l^2 R_c'(T)}{(R_l + R_c(T))^2}$$

$$\frac{d^2 R}{dT^2} = R_l^2 \frac{(R_l + R_c(T)) \left[ (R_l + R_c(T)) R_c''(T) - 2 R_c'^2(T) \right]}{(R_l + R_c(T))^4} = 0$$

$$(R_l + R_c(T)) R_c''(T = T_i) - 2 R_c'^2(T = T_i) = 0$$

$$R_l = \frac{2 R_c'^2(T_i)}{R_c''(T_i)} - R_c(T_i).$$

Dans le cas d'une résistance métallique où:

$$R_c(T) = R_{c_0} (1 + AT + BT^2), \quad T \text{ en } ^\circ\text{C}$$

$R_c'(T) = R_{c_0} (A + 2BT)$  et  $R_c''(T) = 2R_{c_0} B$ , alors la valeur de résistance de linéarisation est donnée par :

$$R_l = \frac{2R_{c_0}^2(A + 2BT_i)^2}{2R_{c_0}B} - R_c(T_i)$$

$$= \frac{R_{c_0}(A + 2BT_i)^2}{B} - R_c(T_i)$$

Si  $T_i = 0^\circ\text{C}$ ,  $R_l = R_{c_0} \left( \frac{A^2}{B} - 1 \right)$ .

Si  $B \neq 0$ , la linéarité shunt est impossible ( $R_l \neq 0$ ).

Exemple : cas du Nickel  $A = 5,5 \times 10^{-3} / ^\circ\text{C}$  et  $B = 6,7 \times 10^{-6} / ^\circ\text{C}$

La linéarisation est possible

$$R_l = R_{c_0} \left( \frac{(5,5)^2 \times 10^{-6}}{6,7 \times 10^{-6}} - 1 \right) = 3,5 \times R_{c_0}.$$

Cas du platine  $A = 3,9 \times 10^{-3} / ^\circ\text{C}$  et  $B = -5,8 \times 10^{-7} / ^\circ\text{C}$ , la linéarisation est impossible.

Cas d'une thermistance

$$R_c(T) = R_{c_0} \exp \left[ B \left( \frac{1}{T} - \frac{1}{T_0} \right) \right], T \text{ en } K$$

$$R'_c(T) = -\frac{B}{T^2} R_c(T), R''_c(T) = -\frac{B^2 + 2BT}{T^4} R_c(T)$$

$$R_l = R_c(T_i) \frac{B - 2T_i}{B + 2T_i}.$$

### 3.3.2.2 Linéarisation série de la résistance

On peut compenser la non-linéarité d'une résistance métallique par la non-linéarité opposée d'une autre résistance d'un métal convenablement choisi. Soit un capteur dont la résistance est :

$$R_c(T) = R_{c_0} (1 + A_c T + B_c T^2); T \text{ en } ^\circ\text{C}.$$

On lui associe en série une résistance  $R_s(T)$ :

$$R_s(T) = R_{s_0} (1 + A_s T + B_s T^2)$$

La résistance  $R(T)$  ainsi constituée a pour valeur:

$$R(T) = R_c(T) + R_s(T) = R_{c_0} + R_{s_0} + (R_{c_0} A_c + R_{s_0} B_s) T + (R_{c_0} B_c + R_{s_0} B_s) T^2,$$

la résistance  $R(T)$  est linéarisée à condition que:

$$R_{s_0} B_s = -R_{c_0} B_c .$$

Il possible de linéariser un capteur à résistance de platine en plaçant en série une résistance de Nickel.

### 3.3.2.3 Linéarisation du rapport potentiométrique

La variation de  $V_x$  est quasi linéaire autour d'une

température  $T_i$  lorsque on a  $\frac{d^2 V_x}{dT^2} \Big|_{T=T_i} = 0$ .

Par simulation avec le cas 5.3.2.1, on déduit la valeur de

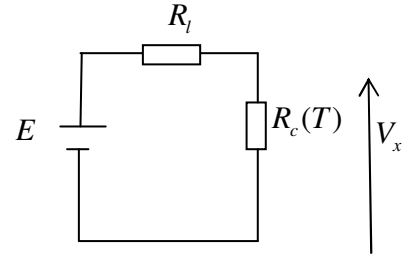


Figure 3.1

$$R_l = \frac{2R_c'^2(T_i)}{R_c''(T_i)} - R_c(T_i) = R_l .$$

### 3.3.2.4 Linéarisation de la tension de mesure du pont de Wheatstone

La tension de mesure  $V_x$  étant:

$$V_x = E \left( \frac{R_2}{R_1 + R_2} - \frac{R_3}{R_3 + R_4} \right)$$

$R_3$  et  $R_4$  étant fixe, la linéarisation de  $V_x$  se ramène à celle du rapport  $\frac{R_2}{R_1 + R_2}$  qui obtenue,

quand  $R_2 = R_c(T)$  en donnant à  $R_1$  la valeur  $R_l$  précédemment déterminée (3.3.2.3).

Le pont est équilibré à la température  $T_i$  autour de la quelle  $V_x$  est linéarisée en prenant  $R_3 = R_l$  et  $R_4 = R_c(T_i)$ .

## 3.4 Thermométrie par thermocouple

### 3.4.1 Sensibilité thermique

Un thermocouple constitué de deux conducteurs A et B formant entre eux deux jonctions aux températures  $T_1$  et  $T_2$  délivre une **f.é.m.**  $E_{A/B}^{T_2 T_1}$  qui dépend d'une part de la nature des conducteurs A et B et d'autre part des températures  $T_1$  et  $T_2$ . En générale  $T_1$  sert de température de référence  $T_1 = T_{ref}$ ,  $T_2$  est la température  $T_c$  qui attient le thermocouple lorsqu'il est placé dans le milieu étudié de température inconnue  $T_x$ ; la température  $T_c$  est fonction de

$T_x$  et de l'ensemble des échanges thermiques possibles avec d'autres milieux (les parois, le milieu extérieur).

L'intérêt du thermocouple est délivrer un signal, une **f.é.m.** dont la mesure nécessite pas la circulation d'un courant dans le capteur, il n'y a donc, contrairement au cas des résistances, aucune incertitude liée à l'auto-échauffement.

Cependant, et cela est un inconvénient du thermocouple, la mesure exige que la température  $T_{réf}$  soit connue, toute incertitude sur  $T_{réf}$  risqué d'entraîner une incertitude du même ordre sur  $T_c$ . La f.é.m. du thermocouple est sur de grands intervalles de température, une fonction non linéaire de  $T_c$  (voir figure 6.13 page 272).

Cette non linéarité entre **f.é.m.** du thermocouple et température  $T$

Est mise en évidence par la forme polynomiale de l'équation qui les lie.

Pour chaque type de thermocouple, une norme définit :

D'une part, une table de valeurs de la **f.é.m.**  $E = f(T)$ ,

D'autre part, une expression polynomial qui traduit algébriquement et en conformité avec la table la relation entre  $E$  et  $T$ .

Exemple :

Pour le couple platine-30%Rhodium/Platine-60% Rhodium, on a, entre 0 °C et 1820 °C, selon la Norme NF C 42-321 :

$$E = \sum_{i=0}^{i=8} a_i T^i \quad E \text{ en } \mu\text{V}, T \text{ en } ^\circ\text{C}$$

$$\begin{array}{lll} a_0 = 0 & a_1 = -2,4674601620 \cdot 10^{-1} & a_2 = 5,9102111169 \cdot 10^{-3} \\ a_3 = -1,4307123430 \cdot 10^{-6} & & a_4 = 2,1509149750 \cdot 10^{-9} \\ a_5 = -3,1757800720 \cdot 10^{-12} & & \\ a_6 = 2,4010367459 \cdot 10^{-15} & a_7 = -9,0928148159 \cdot 10^{-19} & a_8 = 1,3299505137 \cdot 10^{-22} \end{array}$$

Les thermocouples sont utilisables selon leur type, depuis les très basses températures.

-270 °C pour le couple Cuivre/Or-cobalt jusqu'à des températures très élevées :

2700 °C pour le couple Tungstène-Rhénium 5% Tungstène-Rhénium 26 %.

La sensibilité thermique d'un couple  $S$  à une température  $T_c$  est définie par l'équation :

$$S(T_c) = \frac{dE_{A/B}^{T_c}}{dT_c}$$

Elle est fonction de la température et s'exprime en  $\mu\text{V}/^\circ\text{C}$  (voir courbe 6.14 page 273).

Exemple :

Le couple Fer/Constantan, on a :

$$S(0^\circ\text{C}) = 52,9 \mu\text{V}/^\circ\text{C} \text{ et } S(700^\circ\text{C}) = 63,8 \mu\text{V}/^\circ\text{C}$$

Pour le couple Pt-Rh(10%)/Pt, on a :

$$S(0^\circ\text{C}) = 6,4 \mu\text{V}/^\circ\text{C} \text{ et } S(1400^\circ\text{C}) = 11,93 \mu\text{V}/^\circ\text{C}.$$

### 3.4.2 Effet thermoélectriques

#### 3.4.2.1 Effet Peltier

A la jonction de deux conducteurs A et B différents mais à la même température  $T$  (figure 3.2), s'établit une différence de potentiel qui ne dépend que de la nature des conducteurs et de leur température :

$$V_M - V_N = P_{A/B}^T$$

C'est la **f.é.m.** ; de Peltier.

La loi de volta. Dans un circuit isotherme constitué de conducteurs différents la somme des f.é.m. de Peltier est nulle.

Dans la chaîne constituée des métaux A, B, C, D (figure 3.4) on a donc

$$P_{A/B}^T + P_{B/C}^T + P_{C/D}^T + P_{D/A}^T = 0$$

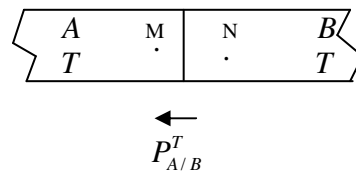


Figure 3.2

L'équation précédente peut encore s'écrire :

$$P_{A/B}^T + P_{B/C}^T + P_{C/D}^T = -P_{D/A}^T$$

$$P_{A/B}^T + P_{B/C}^T + P_{C/D}^T = P_{A/D}^T$$

Etant donné que :

$$P_{A/D}^T = -P_{D/A}^T$$



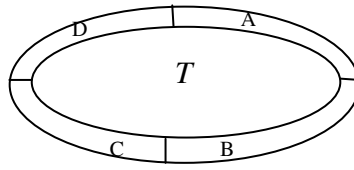


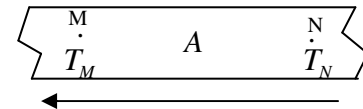
Figure 3.3:  
thermocouple

*Remarque :* lorsque deux conducteurs A et D sont séparés par des conducteurs intermédiaires, l'ensemble étant isotherme, la différence de potentiel entre les conducteurs extrêmes A et D est la que si ces conducteurs étaient en contact.

### 3.4.2.2 Effet Thomson

Entre deux points M et N à température différente, à l'intérieur d'un conducteur homogène A s'établit une **f.é.m.** ne dépendant que de la nature du conducteur et des températures  $T_M$  et  $T_N$ .

$$E_A^{T_M T_N} = \int_{T_N}^{T_M} h_A dT$$



$E_{A/B}^{T_M T_N}$   
Figure 3.4

c'est la **f.é.m.** de Thomson ;  $h_A$  coefficient de Thomson du conducteur A est une fonction de température.

*Loi de Magnus :* Si les extrémités d'un conducteur unique et homogène à la même température, la **f.é.m.** de Thomson est nulle.

### 3.4.2.3 Effet Seebeck

Soit un circuit fermé, constitué de deux conducteur A et B dont les jonctions sont aux températures

$T_1$  et  $T_2$ , il constitue un couple thermoélectrique. Ce couple est le signal d'une **f.é.m.** dite de Seebeck  $E_{A/B}^{T_2 T_1}$  qui résulte des effets de Peltier et Thomson.

**f.é.m.** entre a et b :  $e_{ab} = \int_{T_1}^{T_2} h_A dT$  ; **f.é.m.** entre b et c :  $e_{bc} = P_{A/B}^{T_2}$  ; **f.é.m.** entre c et d :

$$e_{cd} = \int_{T_2}^{T_1} h_B dT ;$$

**f.é.m.** entre d et a :  $e_{da} = P_{B/A}^{T_1}$  ; la **f.é.m.** totale, somme des **f.é.m.** précédentes est la **f.é.m.** de

$$\text{Seebeck : } E_{A/B}^{T_2 T_1} = P_{A/B}^{T_2} - P_{A/B}^{T_1} + \int_{T_1}^{T_2} (h_A - h_B) dT ;$$

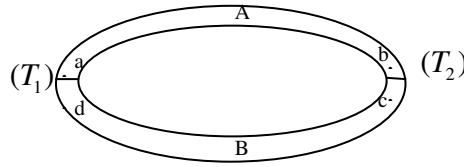


Figure 3.5

#### 3.4.2.4 Loi des métaux successifs

On considère les deux couples que les conducteurs A et C forment respectivement avec un troisième conducteur B : les jonctions étant aux températures  $T_2$  et  $T_1$  les **f.é.m.** de Seebeck correspondantes ont pour expression :

$$E_{A/B}^{T_2 T_1} = P_{A/B}^{T_2} - P_{A/B}^{T_1} + \int_{T_1}^{T_2} (h_A - h_B) dT$$

$$E_{C/B}^{T_2 T_1} = P_{C/B}^{T_2} - P_{C/B}^{T_1} + \int_{T_1}^{T_2} (h_C - h_B) dT$$

On en déduit facilement la **f.é.m.** du couple constitué par les métaux A et C :

$$E_{A/C}^{T_2 T_1} = E_{A/B}^{T_2 T_1} - E_{C/B}^{T_2 T_1}$$

Cette relation, dite loi des métaux successifs, permet de déduire la **f.é.m.** de Seebeck du couple A/C lorsque l'on connaît les **f.é.m.** de Seebeck que délivrent les couples constitués des conducteurs A d'une part, C d'autre part, associés à un troisième conducteur B.

#### 3.4.2.5 Loi des températures successives

Lorsque la température  $T_1$ , considérée comme température de référence prend une nouvelle valeur  $T_1'$ , la **f.é.m.** de Seebeck du couple A/B passe de la valeur  $E_{A/B}^{T_2 T_1}$  à la valeur  $E_{A/B}^{T_2 T_1'}$  :

$$\begin{aligned} E_{A/B}^{T_2 T_1'} &= P_{A/B}^{T_2} - P_{A/B}^{T_1'} + \int_{T_1'}^{T_2} (h_A - h_B) dT \\ &= P_{A/B}^{T_2} - P_{A/B}^{T_1} + \int_{T_1}^{T_2} (h_A - h_B) dT - \left( P_{A/B}^{T_1'} - P_{A/B}^{T_1} + \int_{T_1}^{T_1'} (h_A - h_B) dT \right) \end{aligned}$$

Soit

$$E_{A/B}^{T_2 T_1'} = E_{A/B}^{T_2 T_1} + E_{A/B}^{T_1 T_1'}$$

### 3.4.2.6 lois des métaux intermédiaires

Quand on introduit dans le circuit comprenant le couple A/B un conducteur de nature différente, la **f.é.m.** dont le circuit est le siège n'est pas modifiée à condition que ce conducteur ait ses extrémités à même température. En effet, le conducteur C placé dans le circuit du thermocouple (figure 3.6) entre les points M et M' dont les températures sont identiques  $T_0$  délivre une **f.é.m.** résultante nulle :

$$e = P_{B/C}^{T_0} + \int_{T_0}^{T_0} h_C dT + P_{C/B}^{T_0} = 0$$

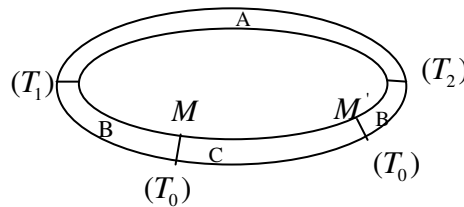


Figure 3.6

Cette conclusion demeure valable quel que soit le nombre de conducteurs introduits à condition que leurs extrémités soient deux à deux à même température.

### 3.4.3 Dispositifs de mesure

#### 3.4.3.1 Montage de mesure

Le montage généralement utilisé est le suivant (figure 3.7):

À condition que soient deux à deux à la même température :

- Les jonctions de référence du thermocouple (A/M<sub>1</sub> et B/M<sub>1</sub>)

- Les jonctions des métaux intermédiaires faisant parties de l'ensemble de liaison et de la mesure ( $M_1/M_2$  ;  $M_2/M_3$ ),

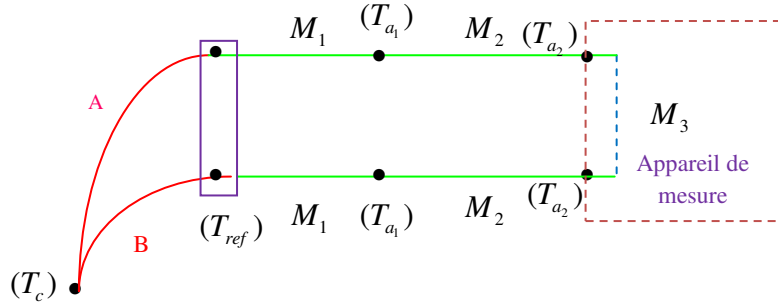


Figure 3.7 : Schéma de principe de la liaison d'un thermocouple à appareil de mesure

Le circuit n'est le siège que de la **f.é.m.** de Seebeck du thermocouple. En effet :

$$e = P_{A/B}^{T_c} + \int_{T_c}^{T_{ref}} h_B dT + P_{B/M_1}^{T_{ref}} + \int_{T_{ref}}^{T_{a1}} h_{M_1} dT + P_{M_1/M_2}^{T_{a1}} + \int_{T_{a1}}^{T_{a2}} h_{M_2} dt + P_{M_2/M_3}^{T_{a2}} + \int_{T_{a2}}^{T_c} h_{M_3} dt$$

$$P_{M_3/M_2}^{T_{a2}} + \int_{T_{a2}}^{T_{a1}} h_{M_2} dT + P_{M_2/M_1}^{T_{a1}} + \int_{T_{a1}}^{T_{ref}} h_{M_1} dT + P_{M_1/A}^{T_{ref}} + \int_{T_{ref}}^{T_c} h_A dt$$

Soit

$$e = P_{A/B}^{T_c} - P_{A/B}^{T_{ref}} + \int_{T_c}^{T_{ref}} (h_B - h_A) dT = E_{A/B}^{T_c T_{ref}}.$$

### 3.4.3.2 Méthode de mesure

C'est la **f.é.m.** de Seebeck dont le thermocouple est le siège qui fournit l'information de température cherchée. Elle ne peut être connue avec précision que si l'on minimise la chute ohmique de tension due à la circulation d'un courant dans les éléments du thermocouple et les fils de liaison : leur résistance est en effet généralement mal connue car fonction de la température ambiante d'une part et de la température à mesurer d'autre part. Deux méthodes sont généralement employées :

- La mesure à l'aide d'un millivoltmètre qui permet de minimiser la chute ohmique si sa résistance interne est élevée,
- La méthode d'opposition qui autorise une mesure rigoureuse puisque dans ce cas le courant traversant le thermocouple est annulé.

Meure avec millivoltmètre (figure 3.8):

Soient  $R_t, R_l$  et  $R_v$  respectivement résistances du thermocouple, résistance des fils de liaison et résistance interne du millivoltmètre.

$$V_x = E_{A/B}^{T_c T_{ref}} \cdot \frac{R_v}{R_t + R_l + R_v}$$

Soit

$$E_{A/B}^{T_c T_{ref}} = V_x \left( 1 + \frac{R_t + R_l}{R_v} \right)$$

Si  $R_v \gg R_t + R_l$ , alors,

$$E_{A/B}^{T_c T_{ref}} = V_x.$$

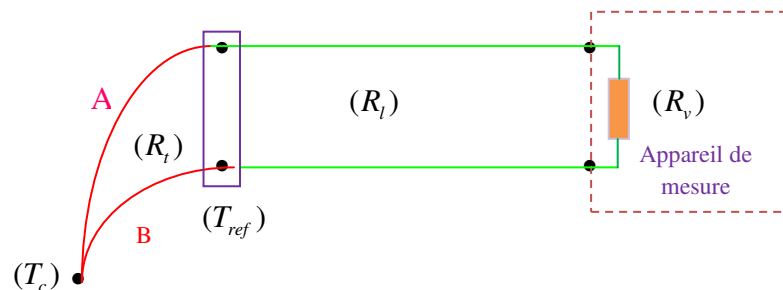


Figure 3.8 : Mesure au millivoltmètre de la f.é.m. d'un thermocouple

Méthode d'opposition:

Son principe est d'opposer à la f.é.m. du thermocouple une tension  $V$  égale et connaissable avec précision, prise aux bornes d'une résistance  $R$  parcourue par un courant  $I$ .

L'égalité de la f.é.m.  $E_{A/B}^{T_c T_{ref}}$  et la tension  $V$  est constatée soit par un galvanomètre.

Montage de Lindeck

Le thermocouple en série avec le galvanomètre  $G$  est branché aux bornes d'une résistance  $R_e$  traverse par un courant  $I$  que l'on règle de façon à annuler le courant dans  $G$  :

$$E_{A/B}^{T_c T_{ref}} = R_e I$$

La valeur de  $I$  est connue soit à l'aide d'un milliampèremètre, méthode peu précise, soit par un tarage à l'aide d'une pile-étalon, dans ce but le galvanomètre commuté en 2, détecte, lorsqu'il est au zéro, l'égalité de la f.é.m. étalon  $E_e$  et de la tension  $V'$  aux bornes de la résistance variable  $R'$  parcourue par  $I$  :

$$E_e = R' I$$

On en déduit:

$$E_{A/B}^{T_c T_{ref}} = \frac{R_e}{R'} \cdot E_e$$

#### Montage de Bouty

Le courant  $I$ , réglé par le rhéostat, demeure fixe au cours de la mesure ; sa valeur est ajustée du tarage pour que la tension aux bornes de la résistance étalon  $R'_e$  soit égale à  $E_e$  :

$$E_e = R'_e I$$

La mesure de  $E_{A/B}^{T_c T_{ref}}$  s'effectue alors en lui opposant la tension aux bornes de la résistance variable de précision  $R_x$  :

$$E_{A/B}^{T_c T_{ref}} = R_x I$$

Dans ces conditions on :

$$E_{A/B}^{T_c T_{ref}} = \frac{R_x}{R'_e} \cdot E_e$$

#### 3.4.4 Linéarisation

On dit qu'un capteur est linéaire si la **f.é.m.** délivrée par thermocouple proportionnelle à la température, ou variant linéairement avec elle.

#### 3.4.5 câbles de compensation

Si le couple A/B était prolongé jusqu'à l'appareil de mesure on aurait :

$$V_x = E_{A/B}^{T_c 0^\circ C} = P_{A/B}^{T_c} - P_{A/B}^{0^\circ C} + \int_0^{T_c} (h_A - h_B) dT$$

Avec les câbles de compensation on a :

$$V_x = P_{Cu/A}^{0^\circ C} + \int_0^{T_2} h_A dT + P_{A'/A}^{T_2} + \int_{T_2}^{T_c} h_A dT + P_{A'/B}^{T_c} + \int_{T_c}^{T_2} h_B dT + P_{B'/B}^{T_2} + \int_{T_2}^{0^\circ C} h_B dT + P_{B'/Cu}^{0^\circ C}$$

On a, les relations:

$$P_{B'/Cu}^{0^\circ C} + P_{Cu/A'}^{0^\circ C} = P_{B'/A'}^{0^\circ C} = -P_{A'/B'}^{0^\circ C}$$

$$P_{A/A}^{T_2} + P_{B/B'}^{T_2} = P_{A'/B'}^{T_2} + P_{B'/A}^{T_2} + P_{B/B'}^{T_2} = P_{A'/B'}^{T_2} + P_{B/A}^{T_2}$$

Compte tenu ces relations on peut écrire  $V_x'$ :

$$V_x' = P_{A/B}^{T_2} - P_{A'/B'}^{0^\circ C} + \int_0^{T_2} (h_{A'} - h_{B'}) dT + \int_{T_2}^{T_c} (h_A - h_B) dT + P_{A'/B'}^{T_2} - P_{A/B}^{T_2}$$

On constate qu'il y a égalité de  $V_x$  et  $V_x'$  à condition que:

$$P_{A/B}^{T_2} - P_{A/B}^{0^\circ C} + \int_0^{T_2} (h_A - h_B) dT = P_{A'/B'}^{T_2} - P_{A'/B'}^{0^\circ C} + \int_{0^\circ C}^{T_2} (h_{A'} - h_{B'}) dT$$

Soit

$$E_{A/B}^{T_2 0^\circ C} = E_{A'/B'}^{T_2 0^\circ C}.$$

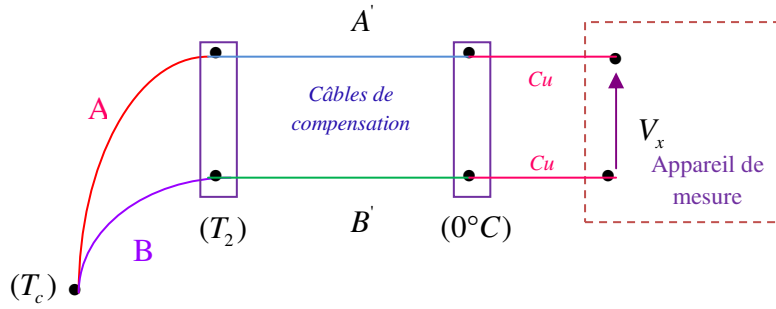


Figure 3.9 : Schéma de montage des câbles de compensation